

B215 + B216

В сборнике представлены новые результаты по динамике и устойчивости деформируемых тел, а также по приближенным методам решения нелинейных краевых задач гидроупругости. Часть работ посвящена вопросам инерциальной навигации и синтезу дискретного управления.

Предназначен для математиков-прикладников, механиков, связанных с практическим решением задач проектирования современных управляемых систем.

Редакционная коллегия : проф., д-р физ.-мат. наук С.Ф. Фещенко; д-р физ.-мат. наук И.А. Луковский (отв. ред.); канд. физ.-мат. наук Д.Г. Кореневский; канд. физ.-мат. наук Н.А. Пустовойтов; канд. техн. наук В.Г. Сухоребрий; канд. физ.-мат. наук М.Е. Темченко.

Ответственный за выпуск Д.Г. Кореневский

© Издание Института математики АН УССР, 1977

ДИНАМИКА И УСТОЙЧИВОСТЬ УПРАВЛЯЕМЫХ СИСТЕМ
Институт математики АН УССР, Киев, 1977

УДК 531.38

О СТАЦИОНАРНЫХ ДВИЖЕНИЯХ КРУГЛЫХ ТЕЛ
НА СТРУНЕ ОСЕСИММЕТРИЧНОГО ТВЕРДОГО ТЕЛА

А.Д. Ильинский, В.А. Стороженко, М.Е. Темченко

Определяются и исследуются стационарные движения однородного осесимметричного продолговатого твердого тела, подвешенного на струне, в предположении, что точка подвеса тела к струне не лежит на оси его динамической симметрии.

Рассмотрим однородное осесимметричное твердое тело массы m , подвешенное на струне длины l в неподвижной точке O_1 (рис. I). Будем предполагать, что струна имеет массу, абсолютно гибкая и не-растяжимая, т.е. рассматривается лишь как геометрическая связь. Точка O_2 - крепление тела к струне - не лежит на оси динамической симметрии тела и отстоит от нее на расстоянии, равном l_1 . Определим исследуем стационарные движения рассматриваемого тела.

1⁰. Выведем, прежде всего, уравнения движения тела. В центре тяжести - точке G - поместим начало системы координат x_1, y_1, z_1 , жестко с телом связанной. При этом ось z_1 направим по оси его симметрии. Оси x_1, y_1, z_1 будут, очевидно, главными центральными осями инерции рассматриваемого однородного твердого тела.

Введем систему координат x_1, y_1 , поместив ее начало также в точке G . Ось z этой системы проведем через точку O_1 , а ось y - совместно с осью y_1 ; направление оси x тем самым определяется од-

С.: Динамика и устойчивость
управляемых систем. Киев: Изд-
ство матем. АН УССР, 1977. 208 с.

означено.

Обозначим буквой δ угол между осями x и x_1 (или, что то же, между осями x и x_2). Тогда нетрудно видеть, используя рис. I, что для любой точки тела с координатами x, y, z имеют место равенства

$$x = x_1 \cos \delta - x_2 \sin \delta; y = y_1; z = x_1 \sin \delta + x_2 \cos \delta. \quad (1)$$

Главные центральные моменты инерции рассматриваемого тела – соответственно осевой и экваториальный – обозначим через C и $A=B$. Моменты инерции тела относительно осей x, y, z можно выразить через A и C посредством очевидных формул:

$$J_{zz} = \int (y^2 + z^2) dm = A \cos^2 \delta + C \sin^2 \delta; \quad J_{xy} = \int xy dm = 0; \quad (m)$$

$$J_{xx} = \int (x^2 + z^2) dm = A, \quad J_{yz} = \int yz dm = 0; \quad (2) \quad (m)$$

$$J_{yy} = \int (x^2 + y^2) dm = A \sin^2 \delta + C \cos^2 \delta; \quad J_{zx} = \int zx dm = (C-A) \sin \delta \cos \delta. \quad (m)$$

2°. Введем неподвижную систему координат $\xi \eta \zeta$, начало которой поместим в неподвижной точке O_1 . Ось ζ этой системы направим вертикально вверх (рис. I).

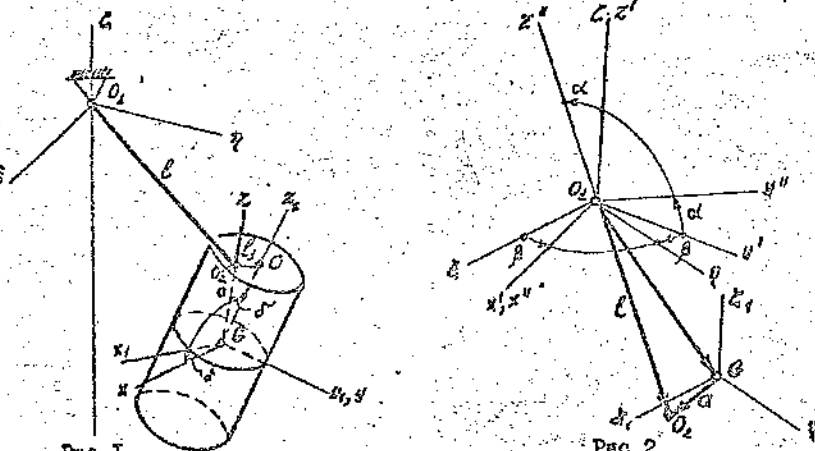


Рис.1

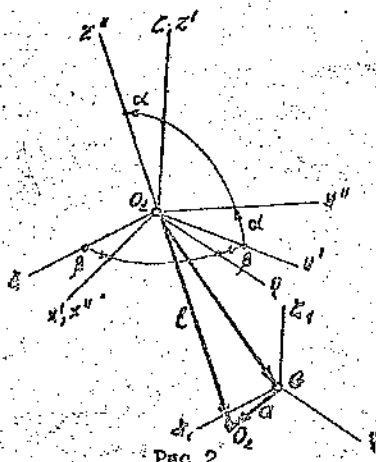


Рис.2

Положение струны в пространстве определим двумя углами α и β (рис. 2). Угол α характеризует отклонение струны от вертикали; угол β является углом между проекцией u' струны на горизонтальную плоскость и осью y .

Проекция струны на оси системы координат $\xi \eta \zeta$ определяются соотношениями

$$\xi = -\xi \sin \alpha \sin \beta; \quad \eta = \xi \sin \alpha \cos \beta; \quad \zeta = -\xi \cos \alpha. \quad (3)$$

В центре тяжести тела G поместим начало поступательно перемещающейся вместе с телом системы координат $\xi_1 \eta_1 \zeta_1$, оси которой во все время движения соответственно параллельны осям ξ, η, ζ (рис. 2).

Положение твердого тела (или, что то же, нестко связанный с ним системой координат $x_1 y_1 z_1$) относительно системы $\xi \eta \zeta$ (или системы $\xi_1 \eta_1 \zeta_1$) определим тремя углами Эйлера φ, θ, ψ (рис. 3). Таблица

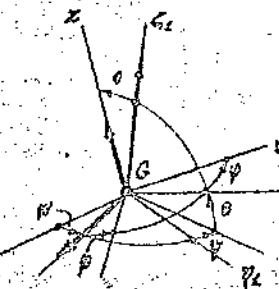


Рис.3

косинусов углов между осями систем координат $x_1 y_1 z_1$ и $\xi_1 \eta_1 \zeta_1$ имеет вид

$$\begin{aligned} \xi_1 &= \cos \varphi \cos \psi - \sin \varphi \cos \theta \sin \psi; \quad \eta_1 = \sin \varphi \cos \psi + \cos \varphi \cos \theta \sin \psi; \quad \zeta_1 = \sin \theta \sin \psi \\ x_1 &= \cos \varphi \cos \psi - \sin \varphi \cos \theta \cos \psi; \quad y_1 = \sin \varphi \cos \psi + \cos \varphi \cos \theta \sin \psi; \quad z_1 = \sin \theta \cos \psi \end{aligned} \quad (4)$$

$$\begin{aligned} \xi &= \sin \varphi \sin \theta; \quad \eta = -\cos \varphi \sin \theta; \quad \zeta = \cos \varphi \end{aligned} \quad (5)$$

Проекции P, q, t угловой скорости тела на оси жестко связанный с ним системы координат $x_1 y_1 z_1$ имеют соответственно вид

$$P = \dot{\varphi} \sin \theta \sin \psi + \dot{\theta} \cos \psi; \quad q = \dot{\varphi} \sin \theta \cos \psi - \dot{\theta} \sin \psi; \quad t = \dot{\varphi} \cos \theta + \dot{\psi}. \quad (5)$$

Координаты точки O_2 в системе ξ, η, ζ , нетрудно получить, пользуясь таблицей (4). имеем

$$\xi_1 = l \sin \phi \sin \theta; \quad \eta_1 = -l \cos \phi \sin \theta; \quad \zeta_1 = l \cos \theta, \quad (6)$$

где l — расстояние между центром масс тела и точкой O_2 .

Используя векторное равенство (см. рис. 2)

$$\overline{O_1 G} = \overline{O_1 O_2} - \overline{G O_2}, \quad (7)$$

а также соотношения (3) и (6), координаты центра тяжести тела в системе координат ξ, η, ζ представим следующим образом:

$$\begin{aligned} \xi_G &= -l \sin \alpha \sin \beta - l \sin \phi \sin \theta; \quad \eta_G = l \sin \alpha \cos \beta + l \cos \phi \sin \theta; \\ \zeta_G &= -l \cos \alpha - l \cos \theta. \end{aligned} \quad (8)$$

3°. Уравнения, описывающие движение исследуемого тела, выведены в форме уравнений Лагранжа II рода. В качестве обобщенных координат выберем ранее углы $\alpha, \beta, \phi, \theta$ и φ , т.к. исследуемая механическая система — подвешенное на струне твердое тело — имеет пять степеней свободы.

В рассматриваемом случае функция Лагранжа при использовании соотношений (2), (5) и (8) имеет вид

$$\begin{aligned} L = T - \bar{H} &= \frac{m}{2} (\dot{\xi}_e^2 + \dot{\eta}_e^2 + \dot{\zeta}_e^2) + \frac{1}{2} (J_{11} \dot{\rho}^2 + J_{22} \dot{\vartheta}^2 - 2 J_{12} \dot{\rho} \dot{\vartheta} - 2 J_{13} \dot{\rho} \dot{\tau} - 2 J_{23} \dot{\vartheta} \dot{\tau}) - \\ &- m g \zeta_e = \frac{m}{2} (\dot{\xi}_e^2 + \dot{\eta}_e^2 + \dot{\zeta}_e^2) + \frac{1}{2} J_{11} (\dot{\phi} \sin \theta \sin \varphi + \dot{\theta} \cos \varphi)^2 + \\ &+ \frac{1}{2} J_{22} (\dot{\phi} \sin \theta \cos \varphi - \dot{\theta} \sin \varphi)^2 + \frac{1}{2} J_{33} (\dot{\phi} \cos \theta + \dot{\varphi})^2 - \\ &- J_{12} (\dot{\phi} \sin \theta \sin \varphi + \dot{\theta} \cos \varphi) (\dot{\phi} \cos \theta + \dot{\varphi}) + m g (l \cos \alpha + l \cos \theta). \end{aligned} \quad (9)$$

Уравнения Лагранжа второго рода для исследуемого тела при использовании соотношений (2), (9) могут быть приведены к следующим:

$$\begin{aligned} ml [(-\dot{\xi}_e \sin \beta + \dot{\eta}_e \cos \beta) \cos \alpha + \dot{\zeta}_e \sin \alpha] + mgl \sin \alpha &= 0, \\ -ml (\dot{\xi}_e \cos \beta + \dot{\eta}_e \sin \beta) \sin \alpha &= 0, \\ ma [(-\dot{\xi}_e \sin \varphi + \dot{\eta}_e \cos \varphi) \cos \theta + \dot{\zeta}_e \sin \theta] + A(\ddot{\theta} - \dot{\varphi}^2 \sin \theta \cos \theta) + \\ + C \dot{\varphi} \sin \theta (\dot{\phi} \cos \theta + \dot{\varphi}) - (A-C) \sin^2 \theta [\ddot{\theta} \cos^2 \varphi - (2\dot{\vartheta}\dot{\phi} - \dot{\varphi} \sin \theta) \sin \varphi \cos \varphi] &= 0, \end{aligned} \quad (10)$$

$$\begin{aligned} -2 \sin \theta \sin^2 \varphi \dot{\varphi} \dot{\varphi} - (1 + \sin^2 \varphi) \sin \theta \cos \theta \dot{\varphi}^2 + (A-C) \sin \theta \cos \theta [\dot{\varphi} \cos \varphi - \dot{\varphi}^2 \sin \theta + \\ + (\dot{\varphi} \cos \varphi - 2\dot{\vartheta} \dot{\phi} \sin \varphi) \cos \theta - \dot{\varphi}^2 \cos 2\theta \sin \varphi] + m g a \sin \theta &= 0, \\ -ma (\dot{\xi}_e \cos \varphi + \dot{\eta}_e \sin \varphi) \sin \theta + A(2\dot{\vartheta} \dot{\phi} \cos \theta + \dot{\varphi} \sin \theta) \sin \theta + C[(\dot{\varphi} \cos \theta + \dot{\varphi}) \cos \theta - \\ - (2\dot{\vartheta} \cos \theta + \dot{\varphi}) \dot{\theta} \sin \theta] - (A-C) \sin^2 \theta [\dot{\varphi} (\sin^2 \theta \sin^2 \varphi - \cos^2 \theta) - \dot{\varphi} \cos \theta + \\ + 2 \cos^2 \varphi \sin \theta \dot{\varphi} \dot{\theta} + (\dot{\theta}^2 \cos \theta + \dot{\theta} \sin \theta + 2\dot{\vartheta} \dot{\phi} \sin^2 \theta) \sin \varphi \cos \varphi + \\ + 2 \sin \theta \cos \theta (1 + \sin^2 \varphi) \dot{\theta} \dot{\varphi}] + (A-C) \sin \theta \cos \theta [\dot{\theta}^2 \sin \theta \cos \varphi + \\ + 2\dot{\vartheta} \dot{\phi} \cos 2\theta \sin \varphi + 2(\dot{\varphi} \cos \varphi + \dot{\varphi} \sin \varphi) \sin \theta \cos \theta + \\ + \dot{\theta} \cos \theta \cos \varphi + \dot{\varphi} \sin \theta \sin \varphi + \dot{\varphi}^2 \sin \theta \cos \varphi] &= 0, \end{aligned}$$

$$\begin{aligned} (A \sin^2 \theta + C \cos^2 \theta) \frac{d}{dt} (\dot{\varphi} \cos \theta + \dot{\varphi}) + (A-C) \sin \theta \cos \theta (\dot{\varphi} \sin \theta \sin \varphi + \\ + 2\dot{\vartheta} \dot{\phi} \cos \theta \sin \varphi + \dot{\theta} \cos \varphi - \dot{\varphi}^2 \sin \theta \cos \theta \cos \varphi) + \\ + (A-C) \sin^2 \theta (\dot{\varphi} \sin \theta \sin \varphi + \dot{\theta} \cos \varphi) (\dot{\varphi} \sin \theta \cos \varphi - \\ - \dot{\theta} \sin \varphi) &= 0. \end{aligned}$$

4°. Совокупность уравнений (10) допускает частное решение

$$\alpha = \alpha_0; \quad \beta = \omega t + \beta_0; \quad \Phi = \omega t + \Phi_0; \quad \theta = \theta_0; \quad \varphi = \varphi_0, \quad (II)$$

соответствующее стационарным движениям тела. Проведем исследование этих движений при условии, что углы α_0 и θ_0 находятся в пределах

$$0 < \alpha_0 < \frac{\pi}{2}; \quad 0 < \theta_0 < \frac{\pi}{2}. \quad (II)$$

Согласно уравнениям (10) и выражениям (8), (II), между постоянными $\alpha_0, \beta_0, \Phi_0, \theta_0, \varphi_0$ имеют место зависимости

$$\begin{aligned} ml \omega^2 \cos \alpha_0 [l \sin \alpha_0 + a \sin \theta_0 \cos(\beta_0 - \Phi_0)] + mgl \sin \alpha_0 &= 0, \\ mal \omega^2 \sin \alpha_0 \sin \theta_0 \sin(\beta_0 - \Phi_0) &= 0. \end{aligned}$$

*) Рассмотрение случаев, когда α_0 и θ_0 равны нулю, либо $\frac{\pi}{2}$, будет предметом отдельного исследования.

$$\begin{aligned}
 & -m\omega^2 \cos\theta_0 [l \sin\alpha_0 \cos(\beta_0 - \Phi_0) + a \sin\theta_0] + (C-A)\omega^2 [l \cos\delta \sin\theta_0 \cos\theta_0 - \\
 & - l \sin^2\delta \sin\theta_0 \cos\theta_0 \sin^2\varphi_0 + l \sin\delta \cos\delta \sin\varphi_0 \cos 2\theta_0] + mqa \sin\theta_0 = 0, \\
 & -ml\omega^2 \sin\alpha_0 \sin\theta_0 \sin(\beta_0 - \Phi_0) = 0, \\
 & -(C-A)\omega^2 \sin\delta \sin\theta_0 \cos\varphi_0 (\sin\delta \sin\theta_0 \sin\varphi_0 - \cos\delta \cos\theta_0) = 0.
 \end{aligned} \tag{13}$$

Не представляет труда показать, что левые части второго и четвертого соотношений (13) обращаются в нуль при условии

$$\sin(\beta_0 - \Phi_0) = 0. \tag{14}$$

При учете неравенств (12) это возможно лишь в двух случаях, именно:

$$\beta_0 - \Phi_0 = 0; \quad \beta_0 - \Phi_0 = \pi. \tag{15}$$

Левая часть пятого соотношения (13) обращается в нуль при выполнении одного из следующих равенств:

$$C = A; \quad \sin\delta \sin\theta_0 \sin\varphi_0 - \cos\delta \cos\theta_0 = 0; \quad \cos\varphi_0 = 0. \tag{16}$$

В настоящей работе мы остановимся лишь на рассмотрении стационарных движений продолговатого тела (для которого $A > C$) при выполнении третьего равенства (16). Изучение стационарных движений тела при выполнении либо первого, либо второго условий (16) будет проведено отдельно.

5°. Третье условие (16) имеет место в двух случаях:

$$\beta_0 = \frac{\pi}{2}; \quad \Phi_0 = \frac{3\pi}{2}. \tag{17}$$

В сочетании с условиями (15) соотношения (17) определяют четыре случая стационарного движения твердого тела, в каждом из которых второе, четвертое и пятое равенства (13) обращаются в тождество, а оставшиеся два являются уравнениями для определения углов α_0 и θ_0 в зависимости от величины ω . Эти четыре случая можно представить следующим образом:

$$\begin{aligned}
 \text{I. } \beta_0 = \Phi_0; \quad \Phi_0 = \frac{\pi}{2}. \\
 -m\omega^2 l \cos\alpha_0 (l \sin\alpha_0 + a \sin\theta_0) + mgl \sin\alpha_0 = 0, \\
 -ma\omega^2 \cos\theta_0 (l \sin\alpha_0 + a \sin\theta_0) + mqa \sin\theta_0 + \frac{1}{2}(C-A)\omega^2 \sin 2(\theta_0 + \delta) = 0.
 \end{aligned} \tag{18}$$

$$\text{II. } \beta_0 = \Phi_0; \quad \Phi_0 = \frac{3\pi}{2}.$$

$$\begin{aligned}
 -m\omega^2 l \cos\alpha_0 (l \sin\alpha_0 + a \sin\theta_0) + mgl \sin\alpha_0 = 0, \\
 -ma\omega^2 \cos\theta_0 (l \sin\alpha_0 + a \sin\theta_0) + mqa \sin\theta_0 + \\
 + \frac{1}{2}(C-A)\omega^2 \sin 2(\theta_0 - \delta) = 0.
 \end{aligned} \tag{19}$$

$$\text{III. } \beta_0 = \pi + \Phi_0; \quad \Phi_0 = \frac{\pi}{2}.$$

$$\begin{aligned}
 -ml\omega^2 \cos\alpha_0 (l \sin\alpha_0 + a \sin\theta_0) + mgl \sin\alpha_0 = 0, \\
 -m\omega^2 \cos\theta_0 (-l \sin\alpha_0 + a \sin\theta_0) + mqa \sin\theta_0 + \\
 + \frac{1}{2}(C-A)\omega^2 \sin 2(\theta_0 + \delta) = 0.
 \end{aligned} \tag{20}$$

$$\text{IV. } \beta_0 = \pi + \Phi_0; \quad \Phi_0 = \frac{3\pi}{2}.$$

$$\begin{aligned}
 -ml\omega^2 \cos\alpha_0 (l \sin\alpha_0 + a \sin\theta_0) + mgl \sin\alpha_0 = 0, \\
 -m\omega^2 \cos\theta_0 (-l \sin\alpha_0 + a \sin\theta_0) + mqa \sin\theta_0 + \\
 + \frac{1}{2}(C-A)\omega^2 \sin 2(\theta_0 - \delta) = 0.
 \end{aligned} \tag{21}$$

6°. Обратимся теперь к исследованию соотношений (18)-(21), т.е. к установлению зависимости между значениями параметра ω и углов α_0 и θ_0 . При этом, как уже упоминалось ранее, будем рассматривать продолговатое тело вращения, для которого $A > C$.

I. $\beta_0 = \Phi_0; \quad \Phi_0 = \frac{\pi}{2}$. Этому случаю соответствует стационарное движение, схематически представленное на рис. 4а. Углы α_0 и θ_0 определяются равенствами (18). Используясь тем, что в рассматриваемом случае

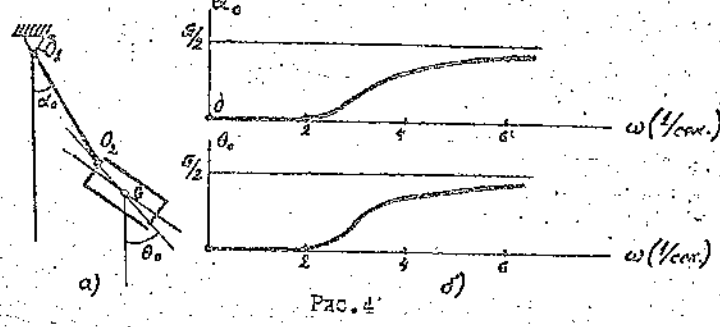


Рис. 4

$0 < \vartheta_0 < \frac{\pi}{2}$; $0 < \theta_0 < \frac{\pi}{2}$, введем замену переменных

$$\sin \theta_0 = x; \sin \vartheta_0 = y; \cos \theta_0 = \sqrt{1-x^2}; \cos \vartheta_0 = \sqrt{1-y^2}. \quad (22)$$

В результате уравнения (18) примут вид

$$x = \frac{y}{\sqrt{1-y^2}} \left(\frac{y}{\sqrt{1-y^2}} - 1 \right), \quad y = \frac{x(y+\rho x)}{\sqrt{1-x^2}} - (x+6)x - \rho \sqrt{1-x^2}, \quad (23)$$

где

$$x = \frac{a}{l}; \quad \epsilon = \frac{A-C}{ml} \cos 2\delta, \quad (24)$$

$$\rho = \frac{A-C}{ml} \sin \delta \cos \delta; \quad \vartheta = \frac{y}{\omega l}.$$

Используя равенства (23), исследуем поведение кривых

$$x = f_1(y, \vartheta) = \frac{y}{\sqrt{1-y^2}} \left(\frac{y}{\sqrt{1-y^2}} - 1 \right), \quad (25)$$

$$y = f_2(x, \vartheta) = \frac{x(y+\rho x)}{\sqrt{1-x^2}} - (x+6)x - \rho \sqrt{1-x^2}$$

на плоскости (x, y) в зависимости от изменения параметра ϑ при фиксированных значениях ρ , a и x .

Рассмотрим вначале однопараметрическое семейство кривых $x = f_1(y, \vartheta)$. Оно имеет на плоскости (x, y) общую точку $(0, 0)$, которая является точкой перегиба, и асимптоту $y = 1$. При $0 < \vartheta < 1$ кривая $x = f_1(y, \vartheta)$ имеет минимум в точке $x = \frac{1}{2}(1-\vartheta^{2/3})^{1/2}$; $y = (1-\vartheta^{2/3})^{1/2}$; при $\vartheta > 1$ экстремальных точек у нее нет. На всем интервале $0 < \vartheta < 1$ кривая $x = f_1(y, \vartheta)$ сохраняет постоянную выпуклость. При малых значениях ϑ кривая $x = f_1(y, \vartheta)$ попадает в область $(0 < x < 1; 0 < y < 1)$ лишь при значениях y , близких к единице; с ростом ϑ эта кривая (в интервале $0 < \vartheta < 1$) все далее отодвигается от асимптоты $y = 1$. График этой кривой показан на рис. 5 (тонкими сплошными линиями).

Рассмотрим теперь семейство кривых $y = f_2(x, \vartheta)$. Общей точкой этого семейства является точка с координатами $(0, -\rho)$; в интервале $0 < x < 1$ точек перегиба нет, все кривые в этом интервале – вогнутые. Асимптотой кривой $y = f_2(x, \vartheta)$ является прямая $x = 1$. Согласно второму равенству (25), условие существования экстремума кривой $y = f_2(x, \vartheta)$ приводится к виду

$$(x+6)(1-x^2)^{3/2} = \vartheta + 3\rho x - 2\rho x^3. \quad (26)$$

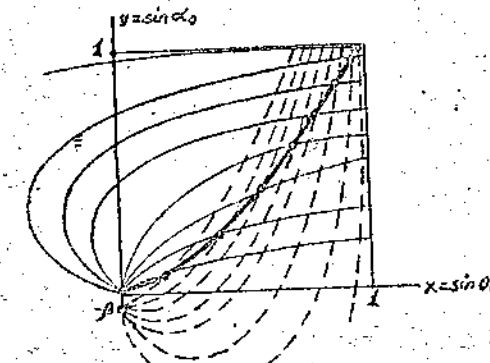


Рис. 5

Из этого утверждения следует, что при $\vartheta = 2+6$ в точке $x = 0$ кривая $y = f_2(x, \vartheta)$ имеет изгибы. Можно показать, что при $\vartheta > 2+6$ эта кривая в интервале $0 < x < 1$ не имеет экстремума. Действительно, пусть

$$y = x + b + \beta \quad (\beta > 0). \quad (27)$$

Подставляя выражение для y в равенство (26), получим

$$(x+6)(1-x^2)^{3/2} = \beta + \rho x(3-x^2), \quad \text{где } 0 < x < 1. \quad (28)$$

Однако последнее соотношение невозможно, т.к. его левая часть отрицательна, а правая положительна. В случае же, когда $b < 0$ и $\beta < 2+6$ возможно удовлетворение последнего неравенства и, следовательно, существование экстремума.

При малых значениях ϑ кривые $y = f_2(x, \vartheta)$ расположены в интервале $0 < x < 1$ вблизи асимптоты $x = 1$, а по мере увеличения ϑ от нее удаляются. На рис. 5 семейство кривых $y = f_2(x, \vartheta)$ показано тонкими пунктирными линиями.

Решением системы (25) являются точки пересечения кривых $x = f_1(y, \vartheta)$ и $y = f_2(x, \vartheta)$. Перечисленные выше свойства этих кривых позволяют заключить, что в области $(0 < x < 1; 0 < y < 1)$ каждому значению ϑ соответствует лишь одна такая точка пересечения. Действительно, так как кривая $y = f_2(x, \vartheta)$ вогнута, а кривая $x = f_1(y, \vartheta)$ выпукла, то точек пересечения может быть только две. Однако левый конец вогнутой кривой-точки с координатами $(0, -\rho)$ лежит всегда ниже, чем левый конец выпуклой кривой, вследствие чего одна из двух упомянутых точек пересечения не попадает в область $(0 < x < 1; 0 < y < 1)$. Используя

рас. 5, нетрудно убедиться, что в рассматриваемом случае точка пересечения упомянутых кривых существует при любом ν . Действительно, при малых ν обе кривые в упомянутой выше области близки к своим асимптотам, пересекающимся в точке с координатами (I, I) . Поэтому при малых значениях ν пересечение кривых (23) близко к точке с координатами (I, I) . Наоборот, при больших значениях параметра ν пересечение упомянутых кривых приближается к точке с координатами $(0, 0)$, являющейся предельной при $\nu \rightarrow \infty$ (т.е., что то же, при $\omega \rightarrow 0$).

Таким образом, форма стационарного движения, описываемая уравнениями (23), возможна при любой величине ν , или, что то же, ω . На рис. 4б изображены зависимости углов $\theta_0 = \arcsin \frac{\omega}{\nu}$; $\theta_0 = \arcsin \frac{\nu}{\omega}$ от изменения параметра ω в пределах от 0 до ∞ .

II. Рассмотрим теперь случай, когда $\beta_0 - \Phi_0 = 0$; $\theta_0 = \frac{3\pi}{2}$, и условия равновесия определяются равенствами (19). Форма равновесия тела при

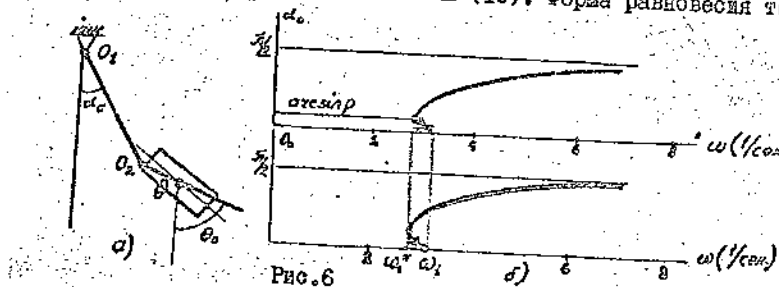


Рис. 6

в этом имеет вид, изображенный на рис. 6а. Используя обозначения (22), условия равновесия тела (19) предстают в виде

$$x = \frac{y}{z} \left(\frac{\nu}{\sqrt{1-y^2}} - 1 \right), \quad y = \frac{x(\nu - px)}{\sqrt{1-x^2}} - (x+6)x + p\sqrt{1-x^2}. \quad (29)$$

Первые уравнения в совокупностях (23) и (29) полностью совпадают. Поэтому для решения задачи в данном случае достаточно рассмотреть свойства однопараметрического семейства кривых

$$y = f_3(x, \nu) = \frac{x(\nu - px)}{\sqrt{1-x^2}} - (x+6)x + p\sqrt{1-x^2}. \quad (30)$$

Это семейство имеет общую точку с координатами $(0, p)$ и общую асимптоту $x = I$ (за исключением случая $\nu = p$, когда асимптота отсутствует). Малко показать, используя вторую производную кривой $y = f_3(x, \nu)$, что при $\nu < p$ эта кривая выпукла и может иметь один экстремум типа максимума. В этом случае линейный член в формуле (30) имеет преоб-

заданное влияние ($I + b \gg p$), и кривая лишь для малых значений x попадает в исследуемую область ($0 < x < I$; $0 < y < I$). Но при этом кривая $y = f_3(x, \nu)$ близка к своей асимптоте $y = I$, и поэтому для данных значений $\nu < p$ не существует точек пересечения кривых $x = f_1(y, \nu)$ и $y = f_3(x, \nu)$, а, следовательно, и не существует рассматриваемой формы стационарного движения.

При значениях $\nu > p$ кривая $y = f_3(x, \nu)$ при $x = \frac{p}{\nu}$ имеет точку перегиба; правее от этой точки появляется второй экстремум — максимум кривой $y = f_3(x, \nu)$. Правее своего минимального значения кривая $y = f_3(x, \nu)$ стремится к асимптоте $x = I$ и при этом имеет точку пересечения с кривой $x = f_1(y, \nu)$. В дальнейшем с ростом параметра ν координаты точки перегиба $x = \frac{p}{\nu}$; $y = \frac{p}{\nu} (-x - 6 + 2\sqrt{v^2 - p^2})$ стремятся к значениям

$x = 0$; $y = 2p$; к этим же значениям стремятся координаты минимума кривой $y = f_3(x, \nu)$. Сама же эта функция становится практически вогнутой кривой без особых точек. При некотором значении ν , когда кривая $y = f_3(x, \nu)$ пересекает ось y в точке с координатами $x = 0$; $y = \nu$, появляется вторая точка пересечения кривых $x = f_1(y, \nu)$ и $y = f_3(x, \nu)$. Подставляя координаты этой точки в первое уравнение (29), получим условие для нахождения величины ν , именно:

$$\nu = \sqrt{1-p^2}. \quad (31)$$

Таким образом, при $\nu > \sqrt{1-p^2}$ существуют две точки пересечения кривых $x = f_1(y, \nu)$ и $y = f_3(x, \nu)$ и соответственно две формы стационарного движения тела. При дальнейшем увеличении ν упомянутые точки пересечения приближаются друг к другу и при определенном значении $\nu = \nu^*$ сливаются в одну, являющуюся точкой касания кривых $x = f_1(y, \nu)$ и $y = f_3(x, \nu)$ (рис. 7). При последующем увеличении параметра ν эти кривые не пересекаются в исследуемой области изменения переменных x и y .

Для определения величины ν^* воспользуемся условием касания кривых $x = f_1(y, \nu)$ и $y = f_3(x, \nu)$, именно:

$$\frac{\partial f_1(y, \nu)}{\partial y} \cdot \frac{\partial f_3(x, \nu)}{\partial x} = 1. \quad (32)$$

Более того при использовании первого равенства (25) и выражения (30) получается к виду

$$\frac{1}{2} \left[\frac{\nu}{(1-y^2)^{3/2}} - 1 \right] \left[-(x+6) + \frac{\nu - 3px + 2px^3}{(1-x^2)^{3/2}} \right] = 1. \quad (33)$$

Выражение (33) совместно с равенствами (29) составляет систему трех уравнений для отыскания трех неизвестных величин ν^* , x^* , y^* .

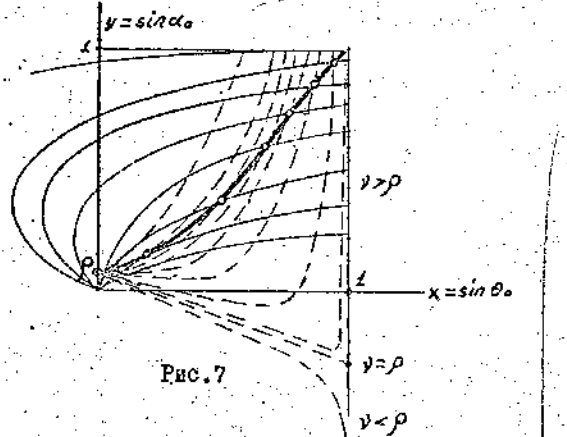
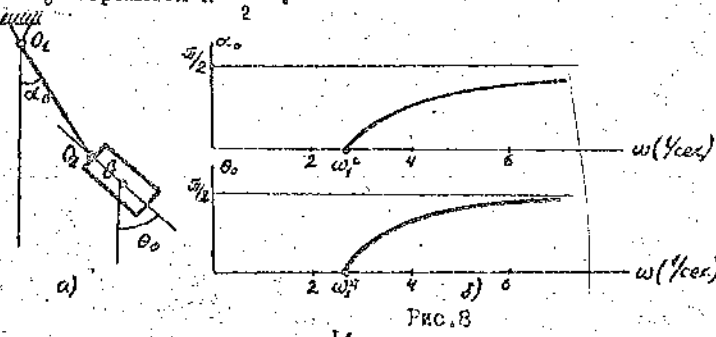


Рис. 7

соответствующих предельному значению \dot{y}^* , после которого стационарное движение, схематически представленное на рис. 6а, становится невозможным.

На рис. 7 представлены оплошными и пунктирными линиями соответственно семейства кривых $x=f_1(y, \dot{y})$ и $y=f_2(x, \dot{y})$ в зависимости от изменения параметра \dot{y} .

На рис. 6б построены графики, характеризующие зависимость углов α_0, θ_0 от параметра ω . Согласно последнему равенству (24), значение \dot{y}^* соответствует величина $\omega^*=\sqrt{\frac{g}{V_0}}$. При угловой скорости $\omega=\omega^*$ на каждом из приведенных выше графиков имеется точка, от которой отвечаются две ветви. Одна из них стремится к точке с абсциссой $\omega_1=\sqrt{\frac{g}{V_0-\rho}}$ (значения ординат в этой точке соответствен-
но $\alpha_1=0.45\sin\theta_1$; $\theta_1=0$). На второй ветви при $\omega \rightarrow \infty$ значения углов α_0 и θ_0 стремятся к $\frac{\pi}{2}$.



14

Следует отметить, что при $\delta=0$ ($\rho=0$) рассмотренные выше положения динамического равновесия, схематически показанные на рис. 4а и 6а, стремятся к известному (см., например, [1-3]) положению динамического равновесия, изображеному на рис. 8а, и при $\delta=0$ с ним сливаются. При этом графики зависимости величин x и y при различных значениях \dot{y} , изображенные на рис. 5 и 7, между собой сливаются и полностью совпадают с графиком, представляемым на рис. 9.

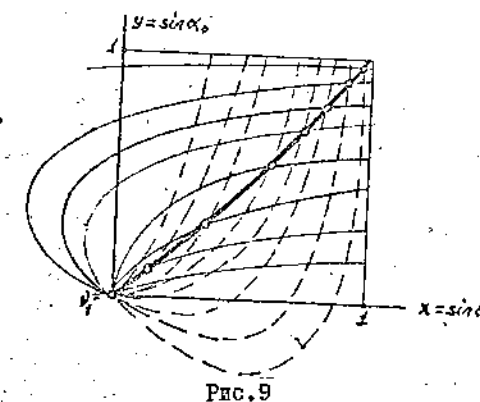


Рис. 9

Обратимся теперь к рассмотрению стационарного движения, при котором $\theta_0=\Phi_0=\frac{\pi}{2}$, $\varphi_0=\frac{\pi}{2}$, а условия равновесия определяются соотношениями (20). Эти условия при использовании обозначений (22) и (24) преобразуются к виду

$$\begin{aligned} x &= -\frac{y}{2} \left(\frac{1}{\sqrt{1-y^2}} - 1 \right), \\ y &= -\frac{x(\dot{y}+\rho x)}{\sqrt{1-x^2}} + (x+\sigma)x + \rho \sqrt{1-x^2}. \end{aligned} \quad (34)$$

Форма стационарного движения тела в рассматриваемом случае схематически представлена на рис. 10а. Для ее изучения следует рассматривать поведение на плоскости (x, y) двух однопараметрических семейств кривых:

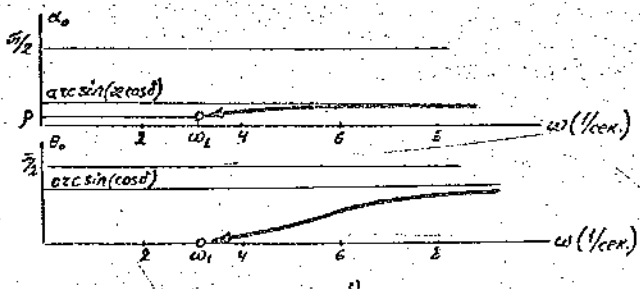


Рис. 10

$$x = f_4(y, \nu) = -\frac{y}{\nu} \left(\frac{1}{\sqrt{1-y^2}} - 1 \right), \quad (35)$$

$$y = f_5(x, \nu) = -\frac{\nu + \rho x}{\sqrt{1-x^2}} x + (x+6)x + \rho \sqrt{1-x^2}.$$

Сравнивая равенства (25) и (35), находим, что

$$f_4(y, \nu) = -f_1(y, \nu); \quad f_5(x, \nu) = -f_2(x, \nu). \quad (36)$$

Это дает возможность воспользоваться результатами, полученнымными выше в п. I. В частности, при $\nu < 1$ кривая $x = f_4(y, \nu)$ имеет максимум в точке с координатами (рис. II)

$$x = \frac{1}{\nu} (1 - \nu^{2/3})^{3/2}, \quad y = (1 - \nu^{2/3})^{1/2}. \quad (37)$$

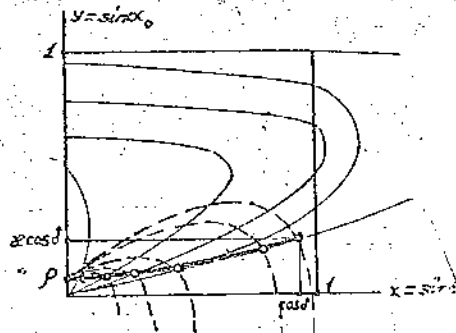


Рис. II

При значениях $\nu > 1$ кривая $x = f_4(y, \nu)$ не имеет экстремума. При малых ν вследствие того, что $\nu = \frac{a}{t} < 1$, максимум кривой $x = f_4(y, \nu)$, определяемый формулами (37), находится вне области $0 < x < \frac{1}{2}$; $0 < y < \frac{1}{2}$. Поэтому кривая $x = f_4(y, \nu)$ в только что указанной области состоит из двух ветвей. Одна из них выпуклая и близка к асимптоте $y = 1$. Нижняя же ветвь вогнута и близка к прямой $y = (x+6)x$ (т.е. $x+6 \gg \rho$). Кривая $y = f_5(x, \nu) = -f_2(x, \nu)$ при $\nu < 2+6$ имеет максимум и является выпуклой. Так как точка с координатами $(0, \rho)$, являющаяся левым концом выпуклой кривой $y = f_5(x, \nu)$, лежит выше точки с координатами $(0, 0)$ — левого конца вогнутой части кривой $x = f_4(y, \nu)$ —, то эта кривая в области $0 < x < \frac{1}{2}$; $0 < y < \frac{1}{2}$ могут пересекаться при любом ν лишь в одной точке. При малом ν эта точка близка к точке с координатами $x=0.66$; $y=0.66$. Критическим значением ν , после которого пересечения уже не будет, является то значение, при котором кривая $x = f_4(y, \nu)$ пересекает ось y в точке с координатами $(0, \rho)$. Подставляя координаты последней в первое равенство (34), получим

$$\nu = \sqrt{1 - \rho^2} = \nu_1. \quad (38)$$

Таким образом, рассматриваемая форма стационарного движения возможна при значениях параметра ν , находящихся в интервале $0 < \nu < \nu_1 = \sqrt{1 - \rho^2}$, что соответствует, согласно последнему равенству (24), значениям угловой скорости ω_1 , находящимся в интервале

$$\sqrt{\frac{g}{l(V_1 - \nu^2)}} \leq \omega < \infty. \quad (39)$$

На рис. II изображены графики кривых $x = f_4(y, \nu)$ и $y = f_5(x, \nu)$, показанные соответственно тонкими и пунктирными линиями, а на рис. IIб представлены зависимости углов $\phi_0 = \text{arcsin} y$, $\phi_1 = \text{arcsinh} x$ от изменения параметра ν .

IV. Наконец, четвертую форму стационарного движения тела, изображенную схематически на рис. I2а, получим при условии, что

$$\phi_0 - \Phi_0 = \pi; \quad \phi_1 = \frac{3\pi}{2}. \quad (40)$$

Уравнения равновесия (21), соответствующие этому случаю, при использовании обозначений (22), (24) преобразуются к виду

$$x = -\frac{y}{\nu} \left(\frac{1}{\sqrt{1-y^2}} - 1 \right), \quad y = -\frac{x(\nu - \rho x)}{\sqrt{1-x^2}} + (x+6)x - \rho \sqrt{1-x^2}. \quad (41)$$

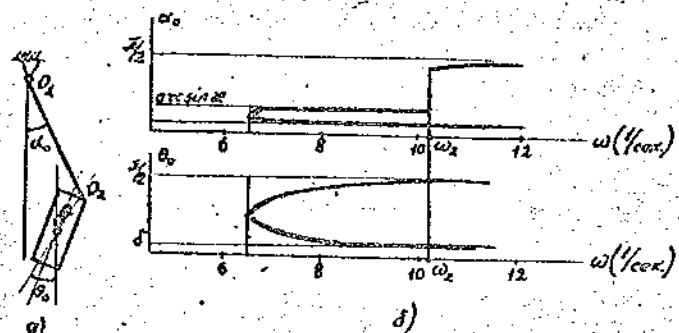


Рис. 12

Сравнивая эти равенства соответственно с первым уравнением (23) и вторым равенством (29), а также учитывая первое выражение (25) и соотношение (30), заключаем, что в данном случае изучение формы стационарного движения состоит в исследовании поведения на плоскости (x, y) однопараметрических семейств кривых

$$\begin{aligned} x = f_6(y, \nu) &= \frac{y}{\nu} \left(\frac{\nu}{\sqrt{1-y^2}} - 1 \right) = f_4(y, \nu), \\ y = f_1(x, \nu) &= -\nu \frac{x - px}{\sqrt{1-x^2}} + (x+6)x - p\sqrt{1-x^2} = -f_3(x, \nu). \end{aligned} \quad (42)$$

в области изменения переменных $0 < x < 1$; $0 < y < 1$.

Как и в предыдущем случае, кривые $x = f_6(y, \nu) = f_4(y, \nu)$, выходящие из общей точки с координатами $(0, 0)$, состоят при малых ν из двух ветвей: верхней – выпуклой и нижней – вогнутой, близкой к прямой $x = \frac{y}{\nu}$.

Семейство кривых $y = f_1(x, \nu)$ имеет общую точку с координатами $(0, -p)$. При $\nu < p$ кривая $y = f_1(x, \nu)$ вогнута и может иметь только один экстремум, именно, минимум. При $x \rightarrow 1$ кривая как угодно близко подходит к асимптоте $x = 1$ ($y \rightarrow -\infty$). С кривой $x = f_6(y, \nu)$ здесь имеются две точки пересечения, одна из которых близка к точке с координатами $(1, 1)$; вторая же точка пересечения будет определена несколько ниже.

При $\nu > p$ $y \rightarrow -\infty$; при $x \rightarrow 1$ кривая $y = f_1(x, \nu)$ имеет точку максимума, расположенную вблизи прямой $x = 1$. С кривой $x = f_6(y, \nu)$ кривая $y = f_1(x, \nu)$ также имеет две точки пересечения, однако пересекается уже не верхняя часть кривой $x = f_6(y, \nu)$, а нижняя. Таким об-

разом, при $\nu = p$ кривая $x = f_6(y, \nu)$ имеет как бы разрыв ^{*)}. В дальнейшем две точки пересечения кривых $y = f_6(x, \nu)$ и $x = f_1(y, \nu)$ по мере увеличения параметра ν сближаются и при определенном значении ν^* сливаются в одну точку. Для ее отыскания надлежит, как и в п. П, воспользоваться условием касания кривых $x = f_6(y, \nu)$ и $y = f_1(x, \nu)$. Нетрудно показать, используя равенства (42), что это условие полностью совпадает с условием (33). Оно в совокупности с равенствами (42) составляет три уравнения для определения величин ν^* , x^* , y^* . На рис. 13 построены графики функций $x = f_6(y, \nu)$, $y = f_1(x, \nu)$, показанные соот-

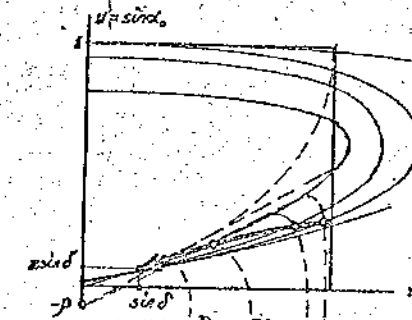


Рис. 13

ветственно сплошными и пунктирными линиями в зависимости от изменения параметра ν . На рис. 12б показаны графики зависимости углов α_0, θ_0 от параметра ω . В частности, согласно последнему равенству (24), на рис. 12

$$(\omega_2^*)^2 = \frac{g}{\ell \nu^*}, \quad \omega_2^* = \frac{g}{\ell p}. \quad (43)$$

*) Точки пересечения кривых $x = f_6(y, \nu)$ и $y = f_1(x, \nu)$, близкие к точке с координатами $(1, 1)$, как бы продолжают ветвь, которая является решением уравнений стационарного движения тела для случая, когда угол θ_0 изменяется в пределах $\frac{\pi}{2} < \theta_0 < \pi$ (этот случай, как уже отмечалось, в данной работе не рассматривается). Таким образом, имеющие в верхней части кривой на рис. 12б являются отрезками различных ветвей общего решения задачи. Этим и объясняется упомянутая каждующаяся разрывность решения.

В заключение отметим, что положения динамического равновесия исследуемого тела, рассмотренные в п.Ш и п.И данной работы, при $\delta=0$ стремятся к положению, изображенному на рис. I4а, и при $\delta=0$ с ним сливаются [I,2]. При этом графики зависимости переменных t , ψ , а также α_0 , θ_0 от изменения угловой скорости ω , показанные на рис. I0б, II, I2б, I3, сливаются с соответствующими графиками, изображенными на рис. I4б, I5.

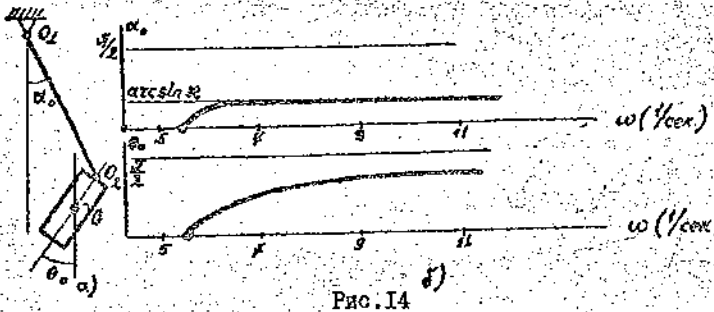


Рис.14

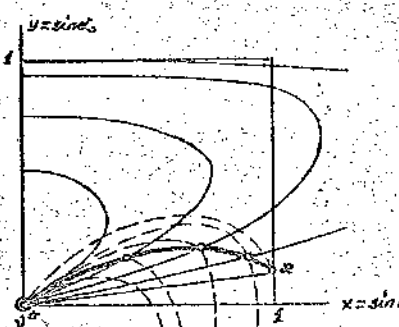


Рис.15

Л и т е р а т у р а

- Ильинский А.Ю. Примеры бифуркаций, не приводящие к появлению неустойчивых форм стационарного движения. -ДАН СССР, 1957, II7, № 1, с.47-49.
- Ильинский А.Ю., Малашенко С.В., Темченко М.Е. О разветвлении устойчивых положений динамического равновесия одной механической системы. -Изв. АН СССР. ОТН, 1958, № 8, с.53-61.
- Темченко М.Е. Об устойчивости одного из положений динамического равновесия одной механической системы. -ДАН СССР, 1957, II7, № 1, с.50-52.

УДК 629.191.2:62-56

ξ, μ - ФУНКЦИОНАЛ ИНЕРЦИАЛЬНОГО УПРАВЛЕНИЯ И ЕГО ПОСТРОЕНИЕ

Д.А.Карпачёв, Д.Г.Кореневский

В продолжение исследований А.Ю.Ильинского (РМжх., 1968, 8 А76) и авторов для основного баллистического уравнения получено выражение так называемого ξ, μ -функционала инерциального управления, строящегося на основе показаний интегратора какущегося ускорения, жестко закрепленного относительно стабилизированного в инерциальном пространстве основания, с осью чувствительности, параллельной оси $O\xi$ стартовой, навращающейся системы координат, и показаний интегратора какущегося ускорения, ось чувствительности которого ориентирована к оси чувствительности первого интегратора под постоянным углом μ . Структура полученного функционала в отличие от известного λ, μ -функционала требует предстартового разворота оси чувствительности только одного μ -интегратора, что позволяет уменьшить суммарную инструментальную ошибку функционала. Отдельно выделяется вариант приборной реализации ξ, μ -функционала с использованием показаний гироскопических интеграторов какущегося ускорения, позволяющий обнаружить возможность дальнейшего упрощения построения ξ, μ -функционала путем исключения интегрирующих счетно-решающих устройств.